

京都大学 正員 岩垣雄一
 京都大学 学生員 ○石田裕
 京都大学 正員 喜岡涉

1. 緒言 円柱状構造物に作用する波力の算定には、一般にモリソン公式を用い、特に大口径円柱の場合には、MacCamay-Fuchs らによる回折理論を用いるが、前者においては抗力係数の特性が不明確であり、後者では、後流剥離などに伴う抗力が考慮されていない欠点がある。したがってより正確に波力を算定するためには、円柱周辺の波の内部機構と波力の発生機構との関係について調べる必要があり、その第一段階として、本研究では、円柱のまわりの回折波の水粒子速度について取り扱うこととする。

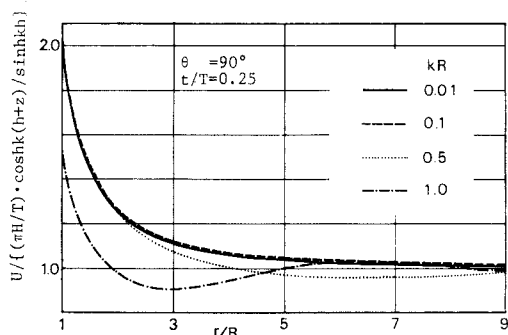
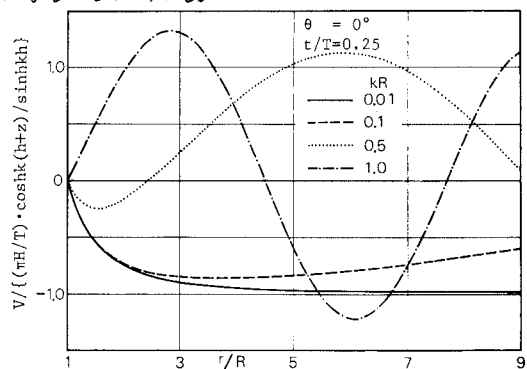
2. 理論 座標系を図1のようにとると、回折波の水平方向水粒子速度の円柱壁に沿う方向の成分 U と、動径方向の成分 V は、MacCamay-Fuchs の説導した速度ボテンシャル中⁽¹⁾より、

$$U = \frac{1}{r} \frac{\partial \phi}{\partial \theta} = \frac{\pi H}{T} \cdot \frac{\cosh k(h+z)}{\sinh kh} \frac{1}{kr} \left[- \sum_{n=0}^{\infty} E_n \cdot n \left\{ J_n(kr) - \frac{J'_n(kR)}{H_n^{(2)}(kR)} H_n^{(2)}(kr) \right\} \sin n\theta \right] e^{i\omega t} \quad \dots \dots \dots (1)$$

$$V = \frac{\partial \phi}{\partial r} = \frac{\pi H}{T} \cdot \frac{\cosh k(h+z)}{\sinh kh} \left[\sum_{n=0}^{\infty} E_n \left\{ J'_n(kr) - \frac{J'_n(kR)}{H_n^{(2)}(kR)} H_n^{(2)}(kr) \right\} \cos n\theta \right] e^{i\omega t} \quad \dots \dots \dots (2)$$

で表わされる⁽²⁾。ここに、 H は波高、 T は周期、 h は水深、 z は測定点の深さ、 R は半径、 k は波数、 ϕ は角周波数、 J_n 、 $H_n^{(2)}$ および J'_n 、 $H_n^{(2)}$ は n 次のベッセル関数、 n 次の第2種ハンケル関数およびそれらの導関数であり、 E_n は $E_0 = 1$ 、 $E_n = 2 \cdot (i)^n$ ； $n \geq 1$ である。図2は、式(1)の回折波の水粒子速度 U と、進行波の水平方向水粒子速度の最大値との比を、 $\theta = 90^\circ$ 、 $t/T = 0.25$ の場合について計算したもので、円柱の径が波長に比べて小さい場合($kR \leq 0.5$)には、壁面上($r/R = 1$)の水粒子速度は、進行波の水粒子速度の約2倍となることがわかる。これは定常流の場合に、円柱壁面上の $\theta = 90^\circ$ の流速が、主流速度の2倍になることに対応しているといえる。また、円柱から遠ざかるにつれて水粒子速度は小さくなり、 $r/R \geq 5$ では、進行波の水粒子速度にほぼ一致することがわかる。

図3は、式(2)の V と進行波の水平方向水粒子速度の最大値との比を、 $\theta = 0^\circ$ 、 $t/T = 0.25$ の場合について計算したもので、 kR の値が大きくなると、円柱壁面付近の値は正になり、進行波の水粒子速度と逆向きの速度になることがある。

図2 回折波の水粒子速度 U ($\theta = 90^\circ$)図3 回折波の水粒子速度 V ($\theta = 0^\circ$)

3. 実験 回折波の水粒子速度を測定するために、長さ 17.5 m、幅 7.5 m、深さ 75 cm の水槽の中央に、図-4 に示すように、半径 R = 10 cm のアクリル製円柱を設置し、直流パルス発生装置を用いて、円柱側壁から水平に張った白金線（直径 0.1 mm）より水素気泡列を発生させ、これを水面上より写真撮影したが、白金線にはほぼ 1 cm ごとにペンキが塗付されており、気泡の前方および後方の移動位置を知ることができる。その一例を写真-1 に示すが、これから写真から、気泡間隔と疏みとり、気泡発生時間间隔で割ることにより、U および V の値を算出した。

4. 結果および考察 実験結果の数例を図-5(a)～(e) に示す。図中の丸は測定値であり、実線は式(1)あるいは式(2)による理論曲線である。図よりわかるように、V の実験値と理論値はほぼ一致しているといえるが、U については、値そのものは全般的に実験値の方が理論値より小さく、また両者の分布形状は、円柱前面 ($\theta < 90^\circ$) ではほぼ一致する反面、円柱背面 ($\theta > 90^\circ$) では、両者の相違が大きくなるようと思われる。しかし、測定値には、速度場が時間的に変化することにもとづく誤差が混入しており、したがって、より正確を期すためには、ストリーカーラインなどの形状について、理論値と実験値を比較する方が考えられる。

なお本実験の範囲では、層流制離やそれに伴う後流渦などは発生しなかったが、これらについても、すでに理論的および実験的研究をおこなつたので、次の機会に述べることとする。

最後に、本研究は文部省科学研究費による研究の一環であることを付して、謝意を表す次第である。

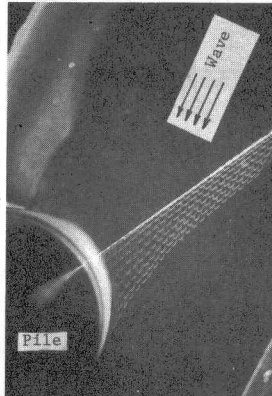


写真-1. 気泡列 ($\theta = 30^\circ$)

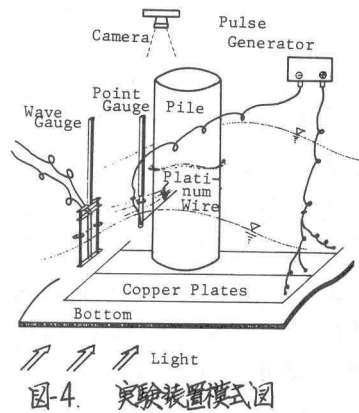


図-4. 実験装置模式図

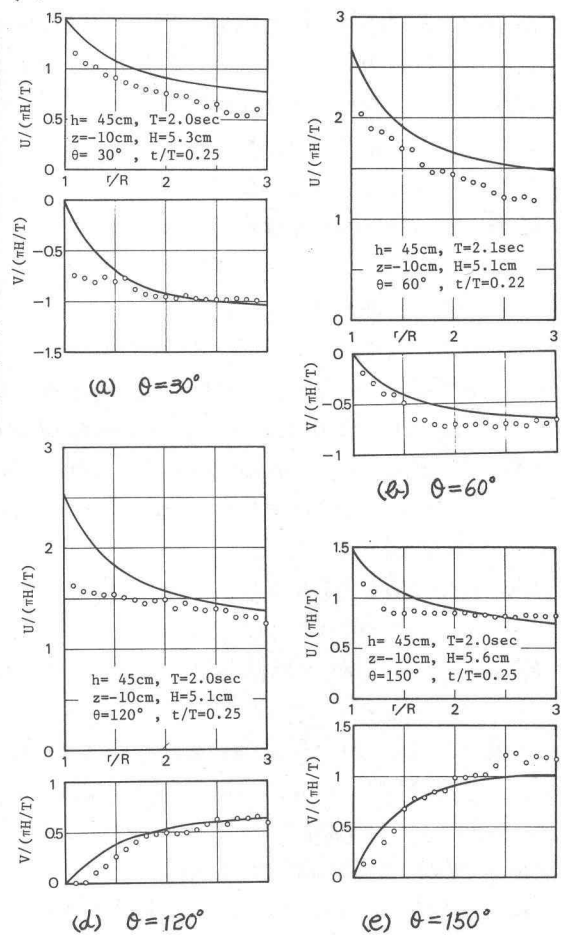


図-5. 回折波の水粒子速度 U および V の分布

参考文献

- MacCamy, R.C. and Fuchs, R.A.: Wave force on a pile: diffraction theory, Tech. Memo. No. 69, P.S.R.B., 1954.

- 岩西雄一・石川信・喜田涉: 回折波による円柱周辺の水粒子速度について、界面支那年次學術講演会講演概要、pp-II-53-1～II-53-2, 1974.